

トンネル内孔変位の性状と予知

金沢工業大学 正会員 川村國夫

1. 考え方；最近、注目を浴びてゐるトンネル工法はNATMである。この工法はタツミ様の支撑土を使用することによると地山の変位を許容し、地山自身の強度を期待する施工法である。しかも、施工中にトンネル内孔変位を観測し、その結果に基づいて施工中の設計変更を積極的に行う観測的工法の一環とも考えられる。したがって、NATMが安全で、経済的に実施できらるが、店かは施工中の観測に基づく将来の変動予知がかかると言ふと言ふではない。本報告では、施工中の観測より、トンネル内孔変位の初期結果より、将来の変位量および破壊可能性などを予知する手法を提案し、その適用性について検討する。

2. 予知方法；過去に計測されたトンネル内孔変位量と時間との関係を検討すれば、図1、2からわかる直線型変位速度($(y_n - y_{n-1})/at$)と時間

もし一次の線形式が成立する場合であ

る。なお、図1は収束型であり、図2は施工中何れかのトネルルーム内孔変位を計測例である。したがって、予知法は図3へ流れ図に示すとおり、変形の基盤式を次式で表す。

$$\frac{dy}{dt} = a y + b \quad (1)$$

一般解は簡単な $t=0, y=y_0$ で

$$y = e^{\alpha t} \cdot y_0 + \frac{b}{\alpha} (e^{\alpha t} - 1) \quad (2)$$

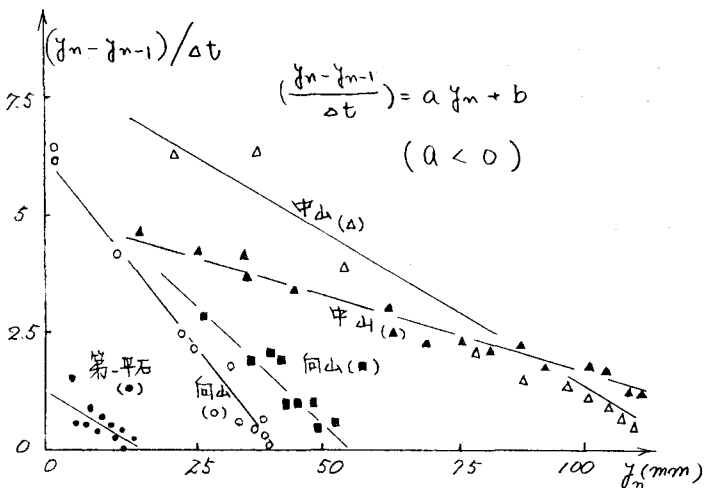


図1 収束型計測例

となる。一方、式(1)と等価な差分式

$$y_n = \beta_1 y_{n-1} + \beta_0 \quad (3)$$

より一般解は。

$$y_n = \beta_1^n \cdot y_0 + \frac{\beta_0}{\beta_1 - 1} (\beta_1^n - 1) \quad (4)$$

と求められる。式(2)と式(4)を注

$$目すれば、a = \frac{1}{at} \cdot \ln \beta_1 \quad (5)$$

$$b = \frac{\beta_0}{\beta_1 - 1} \cdot a \quad (6)$$

が成立する。すなはち、図4で示す様に、

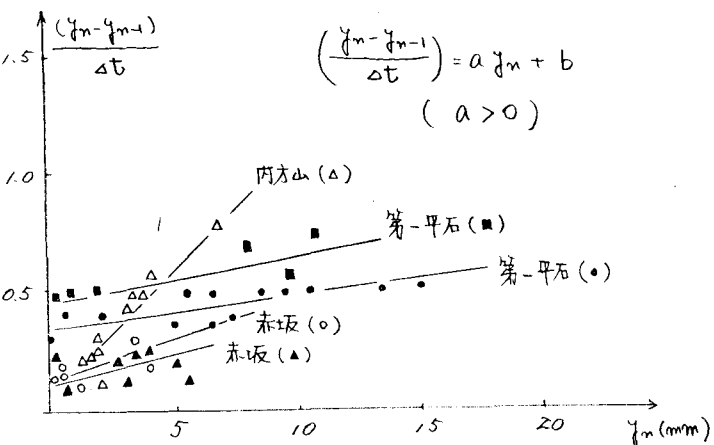


図2 発散型計測例

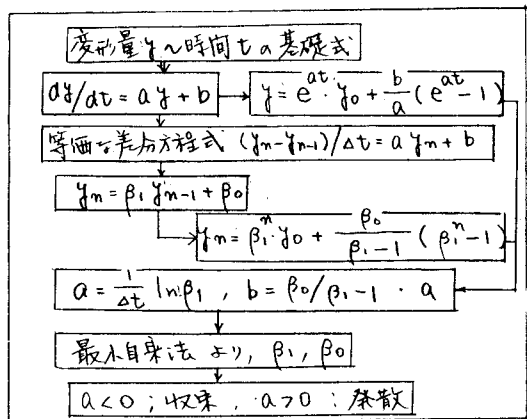


図3 手知法の流れ図

観測結果 $(y_1, t_1), (y_2, t_2), \dots, (y_n, t_n), t_m = \Delta t \cdot n$, $y_m = y(t_m)$ とし, y_1, y_2, \dots, y_n を式(3)に代入すれば最小自乗法により β_1, β_0 が求まる。さらに、式(5), (6)より a, b を求め、それらを式(1)に代入すれば将来の変形量および発散(収束 $a < 0$), 実測(収束 $a < 0$)も同時に予知できるといふ。

3. 手知方法の妥当性: 手知方法の妥当性を検討するため、2, 3の現場計測例が用意された。図5は中山トンネルの内孔変位計測結果であり、実得成実測値、破綻成計算値である。計算値は入手できぬ実測値に基づき次の後づき量を予知した結果である。例えば、図5ではデータ数5, 10, 15, 20, 25個得らるにつきの将来変位量を予知した結果であり、実測値と比較すればその精度が理解できる。図5, 6, 7は收束、発散および途中で收束などの複数の変化について示すもの現場計測例である。これらの図より、入手できているデータ数が多い程、あるいは予知の時期が近い程、精度良く将来変位量を予知できることはわかる。二つには、收束、発散型を問わず予知できることため、有効的手知法といえよう。

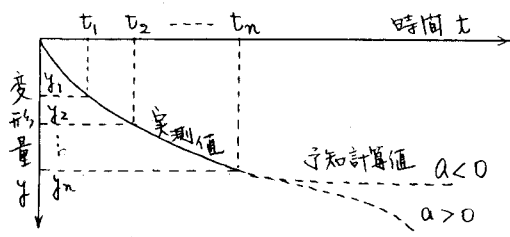


図4 実測値の予知法への適用

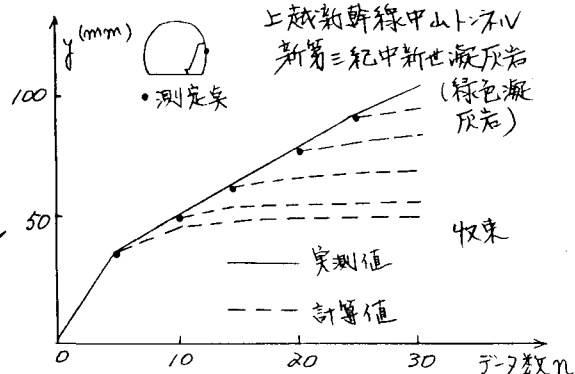


図5 手知法の精度

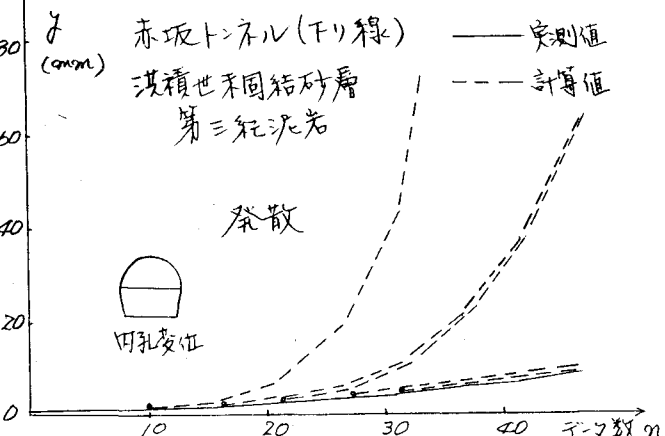


図6 手知法の精度

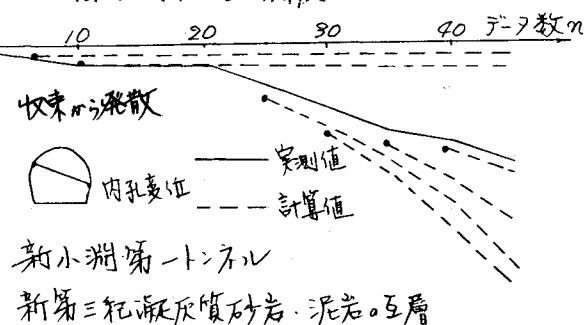


図7 手知法の精度